

## طراحی، ساخت و ارزیابی بیان پلاسمید نوترکیب pIRES-Igk/mIL18/Fc با هدف استفاده در مطالعات واکسن

محمدحسن پوریای ولی<sup>۱</sup>، آرش رضا معمارنژاد بیان<sup>۲</sup>، سیدمهدي سادات<sup>۳</sup>، مهدى زوار<sup>۱</sup>، سیدداور سیادت<sup>۴</sup>،  
کربستین هارطونیان<sup>۵\*</sup>، محمد رضا آقادادقی<sup>۶</sup>

- ۱- کارشناس ارشد، گروه هپاتیت و ایدز، انتیتو پاستور ایران، تهران، ایران
- ۲- استادیار، گروه هپاتیت و ایدز، انتیتو پاستور ایران، تهران، ایران
- ۳- دکتری تخصصی، گروه هپاتیت و ایدز، انتیتو پاستور ایران، تهران، ایران
- ۴- دانشیار، گروه هپاتیت و ایدز، انتیتو پاستور ایران، تهران، ایران
- ۵- دکتری تخصصی، بخش ویروس شناسی، انتیتو پاستور ایران، تهران، ایران

دریافت مقاله: ۸۹/۱۲/۲۱  
پذیرش مقاله: ۹۰/۰۴/۰۴

### چکیده

هدف: ایتلرولوکین ۱۸ سایتوکاینی است که نقش مهمی در پاسخ سلول‌های T کمکی نوع یک بازی می‌کند و بنابراین پلاسمید بیان کننده آن، به عنوان یک ادجوانات قوی ژنتیکی در زمینه مطالعه واکسن‌های DNA به شمار می‌رود. در این مطالعه پلاسمید جفت بیانی کد کننده ایتلرولوکین ۱۸، ترشحی (و به صورت متصل با قسمتی از FCγ2a) ساخته شد و بیان این سایتوکین نوترکیب ارزیابی شد.

مواد و روش‌ها: RNA از سلول‌های تحريك شده طحال موش استخراج و با استفاده از RT-PCR قطعات cDNA متعلق به ایتلرولوکین ۱۸ موشی (mIL-18) و بخشی از توالی FCγ2a ساخته شد. در ادامه به منظور ساخت قطعه FC و ایتلرولوکین ۱۸ موشی در پلاسمید pSL1180 وارد شده و سپس این قطعه در پلاسمید pSecttag2a به منظور اضافه شدن توالی نشانه کاپای ایمنوگلبولین (Igk) کلون شد. در نهایت Igk/mIL-18/Fc در میان سایت آنزیمی NheI/XmaI در ناقل pIRES2-EGFP کلون و پلاسمید pIRES-Igk/mIL-18/Fc ساخته شد. سپس این پلاسمید در رد سلولی HEK293T به وسیله محلول ترانسفکشن توربوفکت ترانسفکت شده و بیان آن با روش الیزا ارزیابی شد.

نتایج: بررسی هضم آنزیمی پلاسمیدهای pIRES-Igk/mIL-18/Fc، pSL-mIL-18/Fc، pSec-mIL-18/Fc و Igk/mIL-18/F، با استفاده از آنزیم‌های اختصاصی مورد استفاده در کلونینگ، منجر به جداسازی قطعات مورد انتظار شد و سپس درستی تراالف و قالب بیان پلاسمید pIRES-Igk/mIL-18/F با روش توالی‌بایی تأیید شد. علاوه بر این بیان و ترشح سایتوکین نوترکیب در محلول رویی سلول‌های ترانسفکت شده HEK293T در مقایسه با کنترل ترانسفکت تأیید شد.

نتیجه‌گیری: در حالی که پلاسمید pIRES-Igk/mIL-18/Fc قابلیت کلونینگ و بیان آن‌تیژن مدنظر را داشته، همچنین قابلیت بیان پروتئین ایتلرولوکین ۱۸ را به عنوان یک ادجوانات قوی ژنتیکی را به همراه دارد. این نتایج در طراحی یک واکسن DNA کارا به منظور ارتقای پاسخ ایمنی سلولی مفید بوده و علاوه بر این هدفی جدید در راستای دستیابی به نسل جدید از واکسن DNA به حساب می‌آید.

کلیدواژگان: ایتلرولوکین ۱۸، پلاسمید جفت بیانی، ادجوانات ژنی، IRES

\*نشانی مکاتبه: تهران، انتیتو پاستور ایران، گروه هپاتیت و ایدز، کد پستی: ۱۳۱۶۹۴۳۵۵۱

Email: mrasadeghi@pasteur.ac.ir

مولکولی ۲۴ کیلودالتون توسط طیف وسیعی از سلول‌ها به ویژه سلول‌های تک هسته‌ای، ماکروفازها و سلول‌های دندریتیک (Dendritic Cells) ساخته می‌شود که به دنبال شکسته شدن ۳۵ (در موش) یا ۳۶ (در انسان) اسید‌آمینه ابتداً آمینی- pro-IL-18 توسط آنزیم پروتئولیتیک کاسپاز ۱ (Caspase-1) معروف به آنزیم تغییر دهنده IL-1 $\beta$  (ICE beta-) ICE با فرم بالغ و فعال (IL-18 بالغ) با وزن مولکولی حدود ۱۸ کیلودالتون و ۱۵۷ اسید‌آمینه حاصل (Leader Sequence) می‌شود [۴]. IL-18 فاقد توالی رهبر (Leader Sequence) بوده و به شکل میکروزویکول (Mirovesicle) (ترشح می‌شود و برش ناشی از کاسپاز ۱ در تسهیل ترشح فرم بالغ و فعال IL-18، از سیتوزول و غشای سلول نقش مؤثری دارد [۸]. اگرچه استفاده از پلاسمید بیان کننده فرم بالغ IL-18 به عنوان ادجوانت ژنتیکی در کنار DNA واکسن‌های متعدد گزارش شده است اما نتایج نشان می‌دهند که بدون پردازش pro-IL-18 توسط کاسپاز ۱ ترشح فرم بالغ IL-18 بسیار ناکارآمد و محدود به مرگ برنامه‌ریزی شده سلولی (Apoptosis)، مرگ یا پاره شدن سلول است [۹]. به این ترتیب در برخی گزارش‌ها با هدف افزایش ترشح، پلاسمید حاوی cDNA کاسپاز ۱ هم در کنار پلاسمید بیان کننده pro-IL-18 به حیوان تزریق شده است که افزایش ترشح و مقابلاً پاسخ ایمنی را به دنبال داشته است [۱۰]. استراتژی مورد قبول دیگر اتصال فرم بالغ IL-18 به توالی پیتید نشانه سایپر پروتئین‌های ترشحی مانند هورمون پاراتیروئید [۱۱] یا زنجیره کاپای ایمونوگلوبولین [۱۲] است که ترشح فرم بالغ و فعال IL-18 را موجب می‌شود. با این روش می‌توان پلاسمید بیان کننده فرم بالغ IL-18 را به شکل یک ادجوانت مولکولی استفاده کرد و در عین حال از ترشح پروتئین نیز اطمینان داشت. از جمله راه‌کارهایی که در چند سال اخیر به منظور افزایش نیمه عمر و اثر بخشی ادجوانات‌های مولکولی در نظر گرفته شده است استفاده از پلاسمیدهایی است که ادجوانات مورد نظر را به صورت نوترکیب با ناحیه ثابت زنجیره سنگین ایمونوگلوبولین FCγ2a بیان می‌کند [۱۳، ۱۴].

## ۱- مقدمه

ایتلرلوکین ۱۸ (Interleukin 18: IL-18) یک سایتوکین پیش التهابی و یک فاکتور القا کننده تولید ایتلرلوکین گاما (Interferon gamma: IFN- $\gamma$ ) محسوب می‌شود که تولید IFN- $\gamma$  را در سلول‌های NK (Natural Killer) و CTL (Cytotoxic T Lymphocyte) (القا کرده [۱] و همچنین خاصیت (Fas-Dependent Cytotoxicity) Fas پرفورین (Perforin) را در این سلول‌ها بالا می‌برد [۲]. از سوی دیگر این سایتوکین نقش اساسی در فعالیت کمکی GM-CSF (T helper 1) (Lymphocyte Macrophage Colony-Stimulating Factor) (Tomur Necrosis Factor) TNF-IL-13 و کموکین‌هایی (Chemokines) چون IL-8 را القا می‌کند [۳، ۲]. از نظر ساختمانی IL-18 متعلق به خانواده ابر خانواده IL-1 است و همانند IL-1 $\beta$  در فرم پیش‌ساز غیرفعال و غیرترشحی سنتر می‌شود [۴] خصوصیت بارز این سایتوکین در تحریک سلول‌های NK و CTL و به دنبال آن افزایش فعالیت کشنده‌گی این سلول‌ها موجب شده که استفاده از این سایتوکین در تحقیقات تولید واکسن و ایمنی درمانی تومورها بسیار مورد توجه قرار گیرد [۵، ۶]. عملکرد این سایتوکین در دفاع در مقابل بیماری‌ Zahای درون و برون سلولی همچون مایکوباتریوم (Mycobacterium)، لیشمانیا (Leishmania)، توکسoplasma (Toxoplasma)، سالمونلا (Salmonella)، کریپتوکوکوس (Cryptococcus) (Yersinia) حاکی از نقش محوری این سایتوکین در راه‌اندازی و تهییج سیستم ایمنی در مواجه با عوامل بیگانه است [۴، ۵]. بنابراین می‌توان از این سایتوکین به عنوان یک ادجوانات (Adjuvant) کارآمد در افزایش بهره‌وری واکسن‌ها، به خصوص واکسن‌های DNA، که به تنهایی قدرت ایمنی زایی پایینی دارد، استفاده کرد [۷]. ژن سازنده IL-18 در بازوی بلند کروموزوم ۱۱ قرار داشته و از ۶ (در انسان) یا ۷ (در موش) اگزون تشکیل شده است [۴]. این پروتئین ابتدا به صورت پیش‌ساز غیرفعال pro-IL-18 با وزن

اضافه کردن قطعاتی از Igk و FCγ2a به این ادجوانات، نیمه عمر فعالیت این سایتوکین افزایش یافته و از سوی دیگر قابلیت ترشح به محیط خارج سلولی را پیدا کرده است که هر دو استراتژی در توسعه عملکرد ایمنی زایی این سایتوکین نقش مؤثری دارد.

## ۲- مواد و روش‌ها

### ۱-۱- حیوان آزمایشگاهی و رده سلولی

موس‌های BALB/c چهار تا شش هفتاهی از بخش پرورش حیوانات آزمایشگاهی انتستیتو پاستور ایران تهیه شد. رده سلولی (Human Myelomonocytic Leukemia) KG-1 و HEK293T HEK293T از بانک سلولی انتستیتو پاستور ایران تهیه شد. سلول‌های Dulbecco's Modified Eagle (DMEM) در محیط کشت (Medium; Gibco, UK) و سلول‌های طحالی جداسازی شده و Roswell Park (RPMI 1640) در محیط کشت (Memorial Institute 1640; Gibco, UK) در شرایط دمایی ۳۷ درجه با ۵٪ CO<sub>2</sub> درصد کشت داده شدند. از دیگر مواد افزوده شده به هر دو محیط کشت شامل ۱۰ درصد سرم جنین گاو شده (Gibco, UK) (Fetal Calf Serum: FCS) و ۲ میلی‌مولار ال-گلوتامین (L-Glutamine) و همچنین ۱۰۰ واحد در هر میلی‌لیتر پنی‌سیلین (Sigma; UK) و ۱۰۰ میکروگرم در هر میلی‌لیتر استرپتومایسین (Sigma; UK) است.

### ۲-۲- مواد مورد استفاده

کانکاوالین A: Con A (Concanavalin A) از شرکت Sigma; UK) که با آب مقطر در غلظت نهایی ۲۰ میکروگرم در هر میلی‌لیتر تهیه و در ۲۰-درجه سانتی‌گراد نگهداری شد. کیت الایزای تشخیصی IL-18: mIL-18 (Mouse IL-18: Murine IL-18) از Bender MedSystems; Austria) و همچنین کیت U-CyTech Bioscience (IFN-γ از شرکت U-CyTech Bioscience (Netherlands) RNA (Xenogen) خریداری شد. کیت استخراج مجموع

فرضیه‌های مختلفی برای توجیه این افزایش کارایی مطرح است که طبق مستدل‌ترین آن‌ها وجود IgFc باعث اتصال مولکول نوترکیب به گیرنده‌های FC در سطح سلول‌های مختلف در گیر در پاسخ ایمنی [مانند لنفوцит‌های B، T و سلول‌های عرضه کننده آنتی‌ژن (Antigen-Presenting Cells) APC] شده و تحریک ساخت و ترشح سایتوکین/کموکین‌های مختلف را توسط این سلول‌ها موجب می‌شود [۱۴]. این در حالی است که ادجوانات مولکولی استفاده شده نیز به صورت مستقل فعالیت زیستی خود را اعمال می‌کند و به این ترتیب ادجوانات متصل به FCγ2a اثربخشی بیشتری را نشان خواهد داد.

در اکثر مطالعاتی که از ادجوانات‌های رثینیکی برای ارتفاقی پاسخ ایمنی استفاده کرده‌اند، اغلب پلاسمید بیان کننده پروتئین ادجوانات با DNA واکسن بیان کننده آنتی‌ژن مخلوط شده و به حیوان تزریق شده است. این در حالی است که برخی گزارش‌ها نشان داده‌اند که می‌توان از ناقل‌های جفت بیانی (Bicistronic) نیز برای اثربخشی بهتر ادجوانات‌های زنی استفاده نمود. از جمله خصوصیات این نوع ناقل‌ها این است که دو ناحیه بیانی مختلف تحت کنترل یک پرومотор ویژه یک mRNA طولی تولید کرده که در آن پروتئین ابتدایی، تحت مکانیسم وابسته به cap تولید شده و پروتئین ثانویه، با کمک توالی ویژه محل داخلی ورود ریبوزوم (Internal Ribosome Entry Site: IRES) تولید می‌شود [۱۵]. مطالعات جدید نشان داده است که اگر ژن بیان کننده آنتی‌ژن و ادجوانات هردو به‌وسیله یک پلاسمید بیان شوند، پاسخ ایمنی ایجاد شده به مراتب قوی‌تر خواهد بود [۱۶]. به عبارت دیگر؛ عرضه همزمان آنتی‌ژن و ادجوانات توسط سلول‌های APC، تحریک بهتر لنفوцит‌ها را به دنبال خواهد داشت [۶].

هدف از پژوهش حاضر طراحی، ساخت و ارزیابی بیان ناقل جفت بیانی است که قابلیت بیان آنتی‌ژن (در این مطالعه Eukaryotic به جای آنتی‌ژن، توالی ژنی پروتئین فلورسانس Green Fluorescent Protein: EGFP) و ادجوانات مولکولی IL-18 نوترکیب را دارد به‌طوری که با

Oligo dT (Primer) انجام شد.

#### ۴-۲- ساخت سازه Igk/mIL-18/Fc و کلون

##### کردن آن در پلاسمید pIRES2-EGFP

کلیه برنامه‌های PCR در قالب برنامه مشترک به صورت ۹۴ درجه ۵ دقیقه، ۹۴ درجه ۱ دقیقه، دمای اتصال (Annealing) که با توجه به دمای آغازگرها (جدول ۱) به صورت ۱ دقیقه ۷۲ درجه، ۱ یا ۲ دقیقه (با توجه به طول محصول) در ۳۵ تا ۳۰ درجه، ۱۰ دقیقه تنظیم شد.

سلولی محلول تریزول (Trizol) از شرکت (Gibco) تهیه و کیت ترانسفکشن in vitro transfection reagent از Turbofect (Fermentas) خریداری شد.

#### ۳-۲- ساخت cDNA بیان کننده mIL-18

با جداسازی سلول‌های طحالی از موش cBALB/c، این سلول‌ها با افزودن ۲۰ میکروگرم در هر میلی‌لیتر کانکواالین A به مدت ۲۴ ساعت در ۳۷ درجه سانتی‌گراد با ۵ CO<sub>2</sub> درصد کشت داده شدند. سپس تخلیص RNA کل از این سلول‌ها با محلول تریزول طبق برنامه کیت صورت گرفت. سنتز cDNA آنزیم MuLV RT (Fermentas; USA) و در حضور آغازگر

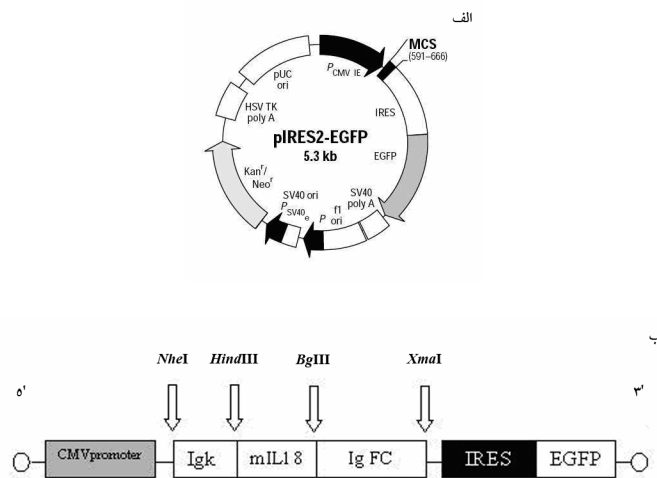
جدول ۱ نام و توالی آغازگرهای مورد استفاده برای ساخت سازه بیانی

نام آغازگر	توالی	دما (درجه سانتی‌گراد)	اندازه آغازگر (نوکلوتید)
F-IL-18-Hi	ata aag ctt caa ctt tgg ccg act tc	۲۶	۶۷/۱
R-IL18-Bg	cgc aga tct act ttg atg taa gtt agt gag	۳۰	۶۲/۱
F-Ig-Bg	ata aga tct gag ccc aga ggg cc	۲۳	۶۸/۱
R-Ig-Ec	aga tat ctt ata gec ccg gag tcc	۲۴	۶۵/۹
F-3F-Nh	ago tag cgc cac cat gga gac	۲۱	۶۷/۲

pSecTag2a کلون شد. در نهایت توالی رهبر Igk روی ناقل pSecTag2a به همراه دو قطعه کلون شده دیگر به صورت سه قطعه Igk/mIL-18/Fc (توالی نهایی توسط دو آغازگر اختصاصی R-3F-Xm و F-3F-Nh) با PCR تکثیر شد و سپس سه قطعه تکثیر شده بعداز هضم آنزیمی NheI/XmaI در پایین دست پروموتور سیتومنگالوویروس (Cytomegalovirus: CMV) پلاسمید Clontech pIRES2-EGFP (شکل ۱ الف) کلون شد.

سازه نهایی (pIRES- Igk/mIL-18/Fc) برای توالی بیانی مستقیم (Direct Sequencing) (به آزمایشگاه Seqlab آلمان) ارسال شده و پس از قرائت توالی‌ها به وسیله نرمافزارهای تخصصی Clustal X و Bioedit، درستی سازه‌ها و ژن‌های کلون شده با انجام آنالیز آنزیمی (شکل ۱) و تعیین توالی تأیید شد.

سنتز توالی مربوط به IL-18 بالغ (Mature IL-18) موشی (۱۵۷ اسید آمینه) با استفاده از آغازگرهای اختصاصی F-IL18-Hi و R-IL18-Bg (جدول ۱) با انجام PCR روی cDNA سنتز شده به عنوان الگو، صورت گرفت. از طرف دیگر؛ توالی مربوط به قسمتی از ناحیه ثابت زنجیره سنگین (IgG2a-Fc) IgG2a R-Ig-Ec و F-Ig-Bg به وسیله آغازگرهای اختصاصی R-3F-Xm با انجام PCR بر روی cDNA سنتز شده تکثیر شد. سپس توالی سنتز شده IL-18 بعد از هضم آنزیمی HindIII/BglII و همچنین توالی ناحیه ثابت زنجیره سنگین IgG2a بعداز هضم آنزیمی BglII/EcoRV در کنار هم در ناقل pSL1180 کلون شد. سپس دو قطعه (IL-18-FcIg) با انجام PCR به وسیله دو آغازگر R-IL-18-Hi و F-IL-18-Hi تکثیر و سپس محصول PCR، جدید بعداز هضم آنزیمی EcoRV/HindIII در ناقل



شکل ۱ (الف) نقشه شماتیک ناقل تجاری pIRES2-EGFP، (ب) شکل شماتیک از سایتها آنزیمی بین قطعات و ترتیب قرارگیری قطعات در سازه بیانی-pIRES2-EGFP. مکان ورود ریبوزوم در داخل ژن، IRES: ژن پروتئین فلورسانست سبز یوکاریوتی، Igk/mIL18/Fc پرومتر سیتوگالوویروس، Kan: ژن کد کننده مقاومت به کانامایسین، ژن pCMV: ژن کاد کننده مقاومت به کانامایسین، IgFC به ترتیب اشاره به توالی نشانه ایمنوگلبولین کاپا، توالی کوتاه شده IL-18 موشی و قسمتی از زنجیره سنگین IgG2a دارد.

## ۶-۲- بررسی بیان پروتئین IL-18 نوترکیب

۴۸ ساعت بعد از ترانسفکشن گذرا، سوب رویی سلول‌ها به صورت جداگانه جمع‌آوری و با استون‌های تغليظ (Vivascience; Sigma; UK) Vivaspin2 حدود ۱۰ برابر تغليظ شد. همچنین همه سلول‌های ترانسفکت شده نیز جمع‌آوری و بعد از دوبار شستشو در ۱۰۰ میکرولیتر PBS (Phosphate Buffered Saline) PBS روش ذوب و انجماد این سلول‌ها را لیز کرده و در نهایت سوب رویی سلول‌های لیز شده پس از سانتریفوژ در دور ۲۵۰ گرم به مدت ۳ دقیقه جمع‌آوری و در کنار محلول رویی تغليظ شده سلول‌های ترانسفکت شده، سریال رقت استاندارد (موجود در کیت) و کنترل منفی (سلول ترانسفکت نشده) به صورت دو تایی برای سنجش بیان IL-18 با کیت الایزای تشخیصی IL-18 موشی (Bender MedSystems; Austria) بررسی شد.

## ۷-۲- بررسی فعالیت پروتئین IL-18 نوترکیب

سلول‌های KG-1، پس از انجام کشت منظم و رسیدن به

## ۵-۲- ترانسفکشن سازه pIRES-Igk/mIL-18/Fc

### و ارزیابی بیان

ترانسفکشن گذرا (Transient Transfection) (پلاسمید ساخته شده pIRES-Igk/mIL-18/Fc با استفاده از برنامه کیت (Fermentas) Turbofect) انجام شد. به طور خلاصه گذرا در هر چاهک پلیت ۶ خانه‌ای کشت داده شد. از طرف دیگر، ۴ میکروگرم از پلاسمید pIRES- Igk/mIL-18/Fc با محیط کشت DMEM به حجم نهایی ۴۰۰ میکرولیتر رسانده شد و ۴ میکرولیتر از محلول توربوفت (Turbofect) به آن افزوده و بعد از ۲۰ دقیقه انکوباسیون دردمای اتاق، این مجموعه، به صورت قطره قطره به سلول‌ها اضافه شد. در نهایت پس از ۴۸ ساعت انکوباسیون، با توجه به حضور ژن EGFP (Enhanced Green Fluorescent Protein) در پلاسمید، میزان ترانسفکشن گذرا با میکروسکوپ فلورسانس به صورت کیفی و انجام فلورسیومتری به صورت کمی ارزیابی شد.

Netherlands) ارزیابی شد.

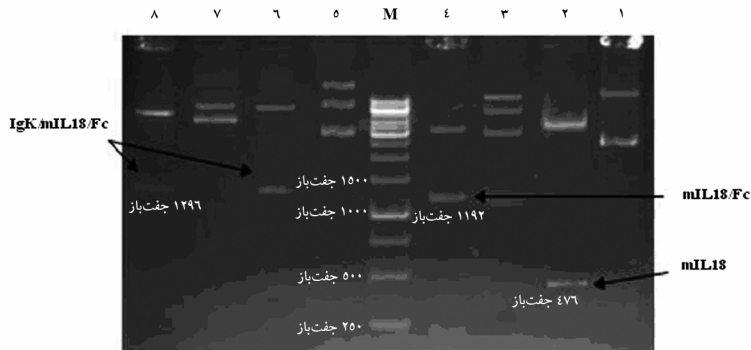
### ۳- نتایج

#### ۱-۳- طراحی، ساخت و تأیید ناقل نوترکیب

##### pIRES-Igk/mIL-18/Fc

سازهنهایی (pIRES-Igk/mIL-18/Fc) با قابلیت بیان و ترشح mIL-18/Ig Fc به دنبال چندین مرحله کلونینگ و pIRES-سابکلونینگ ساخته شد. درستی پلاسمیدنهایی- آنزیم‌های (شکل ۱ ب) با هضم آنزیمی و به دنبال برش با آنزیم‌های (HindIII/EcoRV), (HindIII/BglII), (NheI/XmaI) تأیید شد (شکل ۲). در نهایت با انجام تعیین توالی کلون شده Igk/mIL-18/Fc با طول ۱۲۹۶ نوکلوتید تأیید شد.

میزان  $2 \times 10^7$  سلول در هر میلی لیتر، یکبار با محیط ۱۶۴۰ شسته شده و پس از آن میزان زنده بودن سلولها و تعداد سلولها در یک میلی لیتر محیط ۱۶۴۰ RPMI ۱۶۴۰ سلول شد. ۱۰۰ میکرولیتر از سوسپانسیون سلولی با غلظت  $3 \times 10^7$  سلول در هر میلی لیتر در پلیت ۹۶ خانه‌ای به صورت دوتایی (در گروههای مختلف آزمون، کنترل منفی، کنترل مثبت) کشت داده شد و ۱۰۰ میکرولیتر از سوب رویی تغییض شده سلولها (۴۸ ساعت پس از ترانسفکشن گذرا) به آن (گروه آزمون) اضافه شد. به عنوان کنترل مثبت و منفی به ترتیب از mIL-18-IL استاندارد سنتیک ۵۰۰ پیکوگرم در هر میلی لیتر) و ۱۰۰ میکرولیتر سوب رویی تغییض شده سلولهای بدون ترانسفکشن، استفاده شد. ۲۴ ساعت پس از انکویر کردن سلولها، سوب رویی سلولها به مدت ۱۰ دقیقه با دور ۲۵۰ گرم، سانتریفیوژ شده و سوب رویی آنها جمع‌آوری شد. در نهایت میزان IFN-γ ترشح شده در سوب رویی با کیت سنجش IFN-γ (U-CyTech Bioscience; IFN-γ سنجش) با کیت سنجش



شکل ۲ تأیید کلونینگ قطعات با استفاده از هضم آنزیمی؛ ستون ۱) ناقل اولیه pSL1180-IL-18-FC، ستون ۲) هضم آنزیمی ناقل pSL1180-IL-18-FC، ستون ۳) ناقل اولیه pSL1180-IL-18-FC و تأیید ناقل pSL1180-IL-18-FC با دو آنزیم HindIII/BglII، ستون ۴) هضم آنزیمی و تأیید ناقل pSL1180-IL-18-FC با دو آنزیم NheI/XmaI، ستون ۵) ناقل pSec-mIL-18/Fc با دو آنزیم NheI/XmaI، ستون ۶) تأیید ناقل pSec-mIL-18/Fc با دو آنزیم NheI/XmaI، ستون ۷) ناقل ایگنیهایی- آنزیمی- pIRES-Igk/mIL-18/Fc، ستون ۸) تأیید کلونینگ Igk/mIL-18/Fc با دو آنزیم NheI/XmaI.

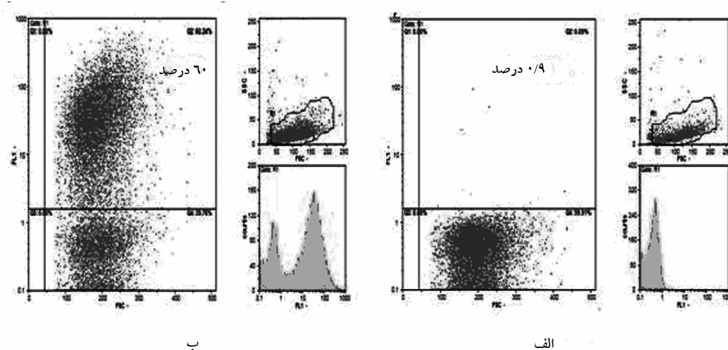
میزان ترانسفکشن گذرای سلولهای آزمون (سلولهای ترانسفکت شده با ناقل pIRES-EGFP-3F) و کنترل (سلول بدون ترانسفکت) با انجام فلوسایتومتری میزان ۶۰ درصد ترانسفکشن را در سلولهای آزمون نشان داد (شکل ۴ نمودار ب).

#### ۲-۳- ترانسفکشن سلول HEK293T با پلاسمید pIRES-Igk/mIL18/Fc

پس از بررسی کیفی با میکروسکوپ فلورسانس (شکل ۳)،

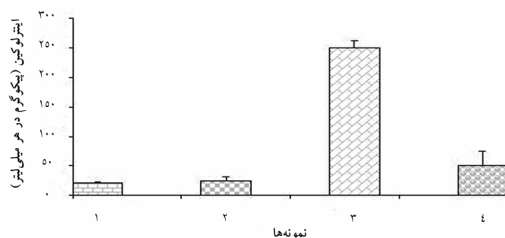


شکل ۳ ارزیابی میزان ترانسفکشن گذرای pIRES-k/mIL-18/Fc در سلول HEK293T با کمک میکروسکوپ فلورسانس؛ (الف) سلول ترانسفکت شده با ناقل بدون EGFP (کنترل منفی)، (ب) سلول ترانسفکت شده با ناقل pIRES-k/mIL-18/Fc که دارای ژن EGFP است. (بزرگنمایی  $\times 100$ )



شکل ۴ بررسی میزان ترانسفکشن گذرای pIRES-k/mIL18/Fc در سلول HEK293T با کمک فلوسایتمتری؛ (الف) سلول کنترل (بدون ترانسفکشن)، (ب) سلول ترانسفکت شده با ناقل pIRES-k/mIL18/Fc

۳۲۰ پیکوگرم در هر میلیلیتر) و همچنین نمونه کنترل مثبت و منفی نشانگر میزان IFN- $\gamma$  ۵ پیکوگرم در هر میلیلیتر در سوب رویی سلول‌های آزمون بود که نشان می‌دهد IL-18 نوترکیب فعال است (نمودار ۲ ستون ۲)



نمودار ۱ بررسی بیان IL-18 به روش الیزا؛ لیزات و سوب رویی سلول‌ها بعد از گذشت ۴۸ ساعت از ترانسفکشن گذرا، به صورت تکرار دوتایی (Duplicate) از نظر میزان IL-18 ارزیابی شد. ستون (۱) سوب رویی سلول‌های ترانسفکت نشده (کنترل منفی سلول)، ستون (۲) سوب رویی سلول‌های ترانسفکت شده با pIRES2-EGFP (کنترل منفی ناقل)، ستون (۳) سوب رویی سلول‌های ترانسفکت شده با pIRES-Igk/mIL-18/Fc، ستون (۴) لیزات سلول‌های ترانسفکت شده با pIRES-Igk/mIL-18/Fc

### ۳-۳- بررسی بیان پروتئین IL18 نوترکیب

ارزیابی میزان IL-18 در سوب رویی سلول‌های ترانسفکت شده با سازه بیانی به صورت دوتایی در کنار منحنی استانداردی با طیف غلظتی ۳۱ تا ۲۰۰۰ پیکوگرم در هر میلیلیتر، غلظتی در حدود ۲۵۰ پیکوگرم در هر میلیلیتر از این پروتئین را در سوب رویی کشت سلول‌ها نشان داد (نمودار ۱ ستون ۳). همچنین بررسی لیزات (Lysate) سلول‌های ترانسفکت شده غلظتی در حدود ۵۰ پیکوگرم در هر میلیلیتر از IL-18 در لیزات سلولی نشان داد.

### ۴-۳- بررسی فعالیت پروتئین IL-18 نوترکیب

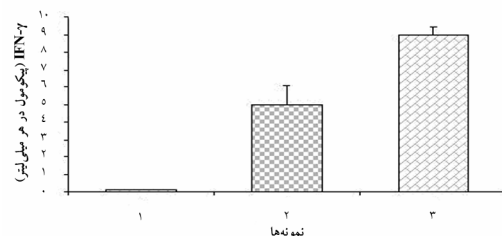
برای سنجش فعالیت IL-18، از ویژگی این سایتوکین در فعل کردن سلول‌های ایمنی و ترشح IFN- $\gamma$  استفاده شد. ارزیابی میزان IFN- $\gamma$  در سوب رویی سلول‌های KG-1 به صورت دوتایی در کنار استاندارد کیت (با طیف غلظتی ۵ تا

برخوردار است. امروز مطالعات زیادی در زمینه به کارگیری سایتوکین و آنتیزن به طور جداگانه در پلاسمید تک بیانی یا بیان همزمان آنها در قالب ناقل‌های جفت بیانی صورت گرفته است [۱۹، ۲۰].

در این مطالعه فرم کوتاه و فعال IL-18 موشی از ژنوم Igk موش تکثیر داده شد و این توالی در کنار بخشی از توالی FC $\gamma$ 2a به منظور ایجاد سایتوکینی فعال، ترشحی و با نیمه عمر فعالیت بالا در ناقل جفت بیانی کلون شد. سپس بیان آن در سلول‌های HEK293T با انجام آزمون الایزا (Enzyme-Linked Immunosorbent Assay: ELISA) به تأیید رسید و در نهایت فعالیت این سایتوکین ارزیابی شد.

IL-18 به عنوان یک سایتوکین پیش‌التهابی و یک محرک فعال تولید  $\gamma$ -IFN همچنین به عنوان یک سایتوکین مهم در تنظیم و تهییج پاسخ‌های ایمنی بسیار مورد توجه است؛ به طوری که امروزه مطالعات زیادی روی این سایتوکین با ماهیت انسانی یا حتی از دیگر منابع حیوانی همچون موش، اردک، سگ، اسب انجام گرفته است [۲۱-۲۴]. IL-18 به صورت یک سایتوکین غیرفعال و فاقد پیتید نشانه تولید می‌شود که تبدیل آن به یک فرم فعال به وسیلهٔ فعالیت برشی سیستئین پروتئاز سلولی صورت می‌گیرد. ناگای (Nagai) و همکاران در مطالعهٔ خود نشان دادند که اگر ۳۵ اسید‌آمینه از ابتدای فرم غیرفعال برداشته شود، این پروتئین به فرم فعال تبدیل می‌شود [۲۵]. در مطالعهٔ دیگری یانگ (Yang) و همکاران نشان دادند اگر ۵۷ اسید‌آمینه از فرم غیرفعال برداشته شود، این فرم کوتاه شده فعال نیست [۲۶] نتایج بدست آمده از این تحقیق نیز نشان داد که فرم کوتاه ستر شده (فاقد ۳۵ اسید‌آمینه انتهای ایمنی) قادر است به خوبی سلول‌های KG-1 را در راستای ترشح  $\gamma$ -IFN تحریک کرده و در مجموع به صورت فعال عمل کند.

از طرف دیگر؛ در چندین مطالعه نشان داده شد که اتصال توالی نشانه به فرم فعال می‌تواند باعث ترشح آن از سلول مولد خود شود [۲۵]. از جمله این توالی‌ها می‌توان به توالی نشانه



نمودار ۲ بررسی فعالیت IL-18 نوترکیب؛ ۲۴ ساعت پس از انکوبه کردن سلول‌های KG-1، با سوب رویی سلول‌های ترانسفکت شده (نمونه آزمون) سوب رویی سلول‌های بدون ترانسفکشن (کنترل منفی) و ۱۸ IL-Mصوصوعی (۵۰۰ پیکوگرم در هر میلی‌لتر) در پلیت ۹۶ خانه سوب رویی این سلول‌ها جمع‌آوری شد و در نهایت میزان  $\gamma$ -IFN ترشح شده در سوب رویی با کیت سنجش  $\gamma$ -IFN ارزیابی شد. ستون (۱) کنترل منفی، ستون (۲) نمونه آزمون، ستون (۳) کنترل مثبت

#### ۴- بحث

بهره‌گیری از واکسن‌های DNA از جدیدترین شیوه‌هایی است که در زمینه واکسیناسیون بر علیه بیماری‌ها و سلول‌های توموری ارایه شده است که با توجه به ایمنی‌زایی این نوع واکسن در راهاندازی پاسخ ایمنی سلولی و همورال، هنوز تلاش‌ها برای دستیابی به پاسخ‌های قابل قبول و مطلوب ادامه دارد [۱۷، ۱۸]. از جمله این تلاش‌ها می‌توان به استفاده از پلاسمیدهای جفت بیانی اشاره کرد که در این ناقل‌ها، یک توالی ویژه مکان داخلی ورود ریبوزوم در بین دو ناحیه کد کننده قرار دارد و این توالی ویژه، ناقل جفت بیانی را قادر می‌سازد تا دو یا چند پروتئین مختلف را با استفاده از یک واحد رونویسی و به دنبال آن ساخت یک mRNA بزرگ، تولید کند. از مزایای این ناقل‌ها در زمینه مطالعات ایمنی شناسی می‌توان به تحریک قوی و پایدار پاسخ‌های ایمنی در مقایسه با ناقل‌های تک بیانی (Monocistronic) اشاره کرد. همچنین در این نوع ناقل‌ها مشکلاتی که در استفاده همزمان چند ناقل تک بیانی وجود دارد، شامل رقابت بین پرومоторها و حذف یک ناقل از سلول دیده نمی‌شود. از دیگر راه‌کارهای تقویت عملکرد واکسن‌های DNA می‌توان به ادجوانات‌های ثانی اشاره نمود؛ در این راستا استفاده از سایتوکین‌ها از اهمیت ویژه‌ای

میلی لیتر از این پروتئین در لیزات سلولی و همچنین بررسی فعالیت این سایتوکین عملکرد موفق توالی نشانه Igk در ترشح فرم فعال IL-18 به اثبات رسید.

ساخت این سازه بیانی به عنوان گامی نخست در راستای استفاده از ناقل‌های جفت بیانی در ارتقای سطح پاسخ‌های ایمنی واکسن‌های DNA است که مقایسه اثربخشی این واکسن با انواع دیگر واکسن‌های DNA به تحقیقات بیشتری در این زمینه نیاز دارد.

## ۵- تشکر و قدردانی

این مقاله، حاصل نتایج بخشی از پژوهه تحقیقاتی مصوب انتستیتو پاستور ایران (طرح ۴۷۸) بوده که در گروه هپاتیت و ایدز به انجام رسیده است.

IFN- $\beta$  یا توالی رهبر از ژن پاراتیروئید هورمون انسانی و همچنین زنجیره کاپای ایمونوگلبولین اشاره کرد [۱۱، ۲۵]. اوساکی (Osaki) و همکاران در تحقیقات خود نشان دادند که اضافه کردن قسمتی از پیتید نشانه هورمون پاراتیروئید انسانی به فرم فعال IL-18 می‌تواند در ترشح این سایتوکین مؤثر باشد؛ به طوری که این سایتوکین همچنان فعال بوده و عملکرد خود را در القای سلول‌های ایمنی با تولید IFN- $\gamma$  همچنان حفظ کند [۲۷]. هوثر (Heuer) و ناگای در مطالعات دیگری به ترتیب با اضافه کردن پیتید نشانه IL-11 و IFN- $\beta$  به فرم فعال و غیرترشحی IL-18، به خوبی توانستند فرم ترشحی این سایتوکین را تولید کنند [۲۵، ۲۸]. در مطالعه حاضر نیز با اتصال قسمتی از توالی Igk با فرم فعال IL-18 و به دنبال آن ردیابی ۲۵۰ پیکوگرم در هر میلی لیتر، ۱۸-IL در محلول رویی سلول‌ها ترانسفکت شده در مقایسه با میزان ۵۰ پیکوگرم در هر

## ۶- منابع

- [1] Ushio S, Namba M, Okura T, Hattori K, Nukada Y, Akita K, Tanabe F, Konishi K, Micallef M, Fujii M, Torigoe K, Tanimoto T, Fukuda S, Ikeda M, Okamura H, Kurimoto M. Cloning of the cDNA for human IFN-gamma-inducing factor, expression in Escherichia coli, and studies on the biologic activities of the protein. *J Immunol* 1996; 156(11): 4274-9.
- [2] Micallef MJ, Ohtsuki T, Kohno K, Tanabe F, Ushio S, Namba M, Tanimoto T, Torigoe K, Fujii M, Ikeda M, Fukuda S, Kurimoto M. Interferon-gamma-inducing factor enhances T helper 1 cytokine production by stimulated human T cells: synergism with interleukin-12 for interferon-gamma production. *Eur J Immunol* 1996; 26(7): 1647-51.
- [3] Netea MG, Kullberg BJ, Verschueren I, Van Der Meer JW. Interleukin-18 induces production of proinflammatory cytokines in mice: no intermediate role for the cytokines of the tumor necrosis factor family and interleukin-1beta. *Eur J Immunol* 2000; 30(10): 3057-60.
- [4] Dinarello CA. Interleukin-18. *Methods* 1999; 19(1): 121-32.
- [5] Arend WP, Palmer G, Gabay C. ILIL-1, IL-18, and IL-33 families of cytokines. *Immunol Rev* 2008; 223: 20-38.
- [6] Barouch DH, Santra S, Tenner-Racz K, Racz P, Kuroda MJ, Schmitz JE, Jackson SS, Lifton MA, Freed DC, Perry HC, Davies ME, Shiver JW, Letvin NL. Potent CD4+ T cell responses elicited by a bicistronic HIV-1 DNA vaccine expressing gp120 and GM-CSF. *J Immunol* 2002, 168(2): 562-8.
- [7] Abdulhaqq SA, Weiner DB. DNA vaccines: developing new strategies to enhance immune

- responses. *Immunol Res* 2008; 42(1-3): 219-32.
- [8] Seki E, Tsutsui H, Nakano H, Tsuji N, Hoshino K, Adachi O, Adachi K, Futatsugi S, Kuida K, Takeuchi O, Okamura H, Fujimoto J, Akira S, Nakanishi K. Lipopolysaccharide-induced IL-18 secretion from murine Kupffer cells independently of myeloid differentiation factor 88 that is critically involved in induction of production of IL-12 and IL-1beta. *J Immunol* 2001; 166(4): 2651-7.
- [9] O'Donovan LH, McMonagle EL, Taylor S, Argyle DJ, Nicolson L. Bioactivity and secretion of interleukin-18 (IL-18) generated by equine and feline IL-18 expression constructs. *Vet Immunol Immunopathol* 2004; 102(4): 421-8.
- [10] Oshikawa K, Shi F, Rakhmilevich AL, Sondel PM, Mahvi DM, Yang NS. Synergistic inhibition of tumor growth in a murine mammary adenocarcinoma model by combinational gene therapy using IL-12, pro-IL-18, and IL-1beta converting enzyme cDNA. *Proc Natl Acad Sci USA* 1999; 96(23): 13351-6.
- [11] Osaki T, Hashimoto W, Gambotto A, Okamura H, Robbins PD, Kurimoto M, Lotze MT, Tahara H. Potent antitumor effects mediated by local expression of the mature form of the interferon-gamma inducing factor, interleukin-18 (IL-18). *Gene Ther* 1999; 6(5): 808-15.
- [12] Kim SH, Cho D, Kim TS. Induction of in vivo resistance to *Mycobacterium avium* infection by intramuscular injection with DNA encoding interleukin-18. *Immunology* 2001; 102(2): 234-41.
- [13] Barouch DH, Truitt DM, Letvin NL. Expression kinetics of the interleukin-2/immunoglobulin (IL-2/Ig) plasmid cytokine adjuvant. *Vaccine* 2004; 22(23-24): 3092-7.
- [14] Ferrone CR, Perales MA, Goldberg SM, Somberg CJ, Hirschhorn-Cymerman D, Gregor PD, Turk MJ, Ramirez-Montagut T, Gold JS, Houghton AN, Wolchok JD. Adjuvanticity of plasmid DNA encoding cytokines fused to immunoglobulin Fc domains. *Clin Cancer Res* 2006; 12(18): 5511-9.
- [15] Chambard JC, Pognonec P. A reliable way of obtaining stable inducible clones. *Nucleic Acids Res* 1998; 26(14): 3443-4.
- [16] Chang SY, Lee KC, Ko SY, Ko HJ, Kang CY. Enhanced efficacy of DNA vaccination against Her-2/neu tumor antigen by genetic adjuvants. *Int J Cancer* 2004; 111(1): 86-95.
- [17] Lemieux P. Technological advances to increase immunogenicity of DNA vaccines. *Expert Rev Vaccines* 2002; 1(1): 85-93.
- [18] Wang S, Liu X, Fisher K, Smith JG, Chen F, Tobery TW, Ulmer JB, Evans RK, Caulfield MJ. Enhanced type I immune response to a hepatitis B DNA vaccine by formulation with calcium- or aluminum phosphate. *Vaccine* 2000; 18(13): 1227-35.
- [19] Kim JJ, Trivedi NN, Nottingham LK, Morrison L, Tsai A, Hu Y, Mahalingam S, Dang K, Ahn L, Doyle NK, Wilson DM, Chattergoon MA, Chalian AA, Boyer JD, Agadjanyan MG, Weiner DB. Modulation of amplitude and direction of in vivo immune responses by co-administration of cytokine gene expression cassettes with DNA immunogens. *Eur J Immunol* 1998; 28(3): 1089-103.

- [20] Nimal S, McCormick AL, Thomas MS, Heath AW. An interferon gamma-gp120 fusion delivered as a DNA vaccine induces enhanced priming. *Vaccine* 2005; 23(30): 3984-90.
- [21] Chen HY, Cui BA, Xia PA, Li XS, Hu GZ, Yang MF, Zhang HY, Wang XB, Cao SF, Zhang LX, Kang XT, Tu K. Cloning, in vitro expression and bioactivity of duck interleukin-18. *Vet Immunol Immunopathol* 2008; 123(3-4): 205-14.
- [22] Culhane AC, Hall MD, Rothwell NJ, Luheshi GN. Cloning of rat brain interleukin-18 cDNA. *Mol Psychiatry* 1998; 3(4): 362-6.
- [23] Argyle DJ, McGillivray C, Nicolson L, Onions DE. Cloning, sequencing, and characterization of dog interleukin-18. *Immunogenetics* 1999; 49(6): 541-3.
- [24] Nicolson L, Penha-Goncalves MN, Keanie JL, Logan NA, Argyle DJ, Onions DE. Cloning and sequencing of horse interleukin-12 and interleukin-18 cDNAs. *Immunogenetics* 1999; 50(1-2): 94-7.
- [25] Nagai H, Hara I, Horikawa T, Oka M, Kamidono S, Ichihashi M. Gene transfer of secreted-type modified interleukin-18 gene to B16F10 melanoma cells suppresses in vivo tumor growth through inhibition of tumor vessel formation. *J Invest Dermatol* 2002; 119(3): 541-8.
- [26] Yang YJ, Wang ZY, Chen SH, Ge XR. Cloning and characterization of a new isoform of mouse interleukin-18. *Acta Biochim Biophys Sin (Shanghai)* 2005; 37(12): 826-34.
- [27] Osaki T, Péron JM, Cai Q, Okamura H, Robbins PD, Kurimoto M, Lotze MT, Tahara H. IFN-gamma-inducing factor/IL-18 administration mediates IFN-gamma- and IL-12-independent antitumor effects. *J Immunol* 1998; 160(4): 1742-9.
- [28] Heuer JG, Tucker-McClung C, Hock RA. Neuroblastoma cells expressing mature IL-18, but not proIL-18, induce a strong and immediate antitumor immune response. *J Immunother* 1999; 22(4): 324-35.